Доменная невзаимность электромагнитных волн в центросимметричном TbMnO₃

И.Е. Чупис

Физико-технический институт низких температур им. Б.И. Веркина НАН Украины пр. Ленина, 47, г. Харьков, 61103, Украина E-mail: chupis@ilt.kharkov.ua

Статья поступила в редакцию 26 июня 2012 г., после переработки 12 сентября 2012 г.

Рассмотрен поляритонный спектр в центросимметричном $TbMnO_3$ при низких температурах в соразмерном антиферромагнитном состоянии после спин-флоп перехода в магнитном поле. Показано, что наблюдаемая в этом состоянии линейная зависимость электрической поляризации P от магнитного поля H обусловлена упорядочением спинов ионов тербия. Магнитоэлектрическая энергия PGH (G — антиферромагнитный вектор тербия) индуцирует в центросимметричном $TbMnO_3$ без линейного магнитоэлектрического эффекта невзаимный спектр TM и TE поляритонов. В антиферромагнитных 180-градусных тербиевых доменах оказываются различными скорости электромагнитных волн, а направления прецессии электрического поля и поворота плоскости поляризации имеют противоположные знаки. Оценки этих эффектов дают величину порядка 10^{-3} .

Розглянуто поляритонний спектр у центросиметричному $TbMnO_3$ при низьких температурах у розмірному антиферомагнітному стані після спін-флоп переходу у магнітному полі. Доведено, що спостережена у цьому стані лінійна залежність електричної поляризації P від магнітного поля H зумовлена упорядкуванням спінів іонів тербію. Магнітоелектрична енергія PGH (G — антиферомагнітний вектор тербію) індукує у центросиметричному $TbMnO_3$, що не має лінійного магнітоелектричного ефекту, невзаємний спектр TM та TE поляритонів. У антиферомагнітних 180-градусних тербієвих доменах виникає різниця у швидкості електромагнітних хвиль, а напрямок прецесії електричного поля та повороту площини поляризації мають протилежні знаки. Оцінки цих ефектів дають величину порядку 10^{-3} .

PACS: 78.20.Ls Магнитооптические явления.

Ключевые слова: антиферромагнитные домены, магнитоэлектрические взаимодействия, невзаимность, коэффициент преломления, электромагнитная волна, магнитное поле.

Введение

Известно, что свойства электромагнитной волны существенно зависят от среды, в которой она распространяется. Поскольку в электромагнитной волне присутствуют и электрическое, и магнитное поля, то она наиболее активно взаимодействует со средами, имеющими собственные (спонтанные) электрическое и (или) магнитное поля, т.е. с сегнетоэлектриками, магнетиками, сегнетомагнетиками. Взаимодействие электрической и магнитной подсистем, называемое магнитоэлектрическим (МЭ), в нецентросимметричных антиферромагнетиках разрешает линейную связь между статической электрической поляризацией ${\bf P}$ и внешним постоянным магнитным полем ${\bf H}$, $P_i = \alpha_{ik} H_k$ [1–3].

Такие вещества с линейным МЭ эффектом (ЛМЭЭ) называют магнитоэлектриками, в некоторых из них наблюдалась значительная величина МЭ восприимчивости $\alpha \approx 10^{-2}$. Изучение проявления МЭ взаимодействий в оптических явлениях не требует приложения внешних статических электрического и магнитного полей. В 60–70-х годах прошлого столетия оптические свойства магнетиков, магнитоэлектриков и сегнетомагнетиков активно исследовались экспериментально и теоретически. Были предсказаны новые эффекты, среди которых наиболее интересными являются невзаимные явления: гиротропное двупреломление и невзаимное отражение света в магнитоэлектриках. Так, ожидалось различие в скоростях света при инверсии направления его распространения и смещение главных

оптических осей относительно кристаллографических направлений. Эти новые эффекты имели МЭ происхождение. Результаты предпринятых измерений в GdVO₄ [4] значительно отличались от теоретических расчетов. И только недавно удалось обнаружить предсказанные невзаимные оптические эффекты [5-7]. Эксперимент в нецентросимметричном антиферромагнетике Ст2О3 показал, что величины обоих упомянутых выше эффектов линейно зависят от МЭ восприимчивости а. Оба эффекта меняют знак при изменении направления вектора антиферромагнетизма L на противоположное. В результате углы вращения θ плоскости поляризации падающего линейно поляризованного света после прохождения антиферромагнитных $(A\Phi)$ доменов L^{+} и L^{-} оказываются различными. Величина разности углов вращения в доменах в Сг₂О₃ $\Delta \theta = \theta^+ - \theta^- = 8' \cong 2,3 \cdot 10^{-3}$ рад.

Не так давно в орторомбическом АФ ТbMnO₃ был открыт колоссальный нелинейный МЭ эффект [8], а также линейная зависимость электрической поляризации P_{x} от магнитного поля H_{y} после спин-флоп перехода [9]. Однако этот кристалл не является магнитоэлектриком: он центросимметричный и линейная зависимость $P \sim H$ в нем возникает лишь в достаточно сильном магнитном поле. Представляется интересным исследовать влияние указанной линейной МЭ зависимости на электромагнитные волны в такой среде. Электромагнитные волны в среде принято называть поляритонами. ТbMnO3 — центросимметричный кристалл (группа симметрии D_{2h}^{16}) без ЛМЭЭ. Ниже температуры Нееля $T_N \cong 42 \ \mathrm{K}$ спины ионов марганца образуют модулированную коллинеарную A_{ν} структуру вдоль оси Y с вектором модуляции $k_{y} \approx 0.295 b^{*}$ $(b^*$ — вектор обратной решетки). Ниже температуры $T_c \cong 28 \, \, {
m K} \,$ появляется еще одна компонента АФ вектора вдоль оси Z и электрическая поляризация вдоль той же оси [8,10]. Спины ионов тербия упорядочиваются при более низких температурах $T < T' \approx 7$ K, образуя несоразмерную фазу с $k_{v}' \approx 0,42b^{*}$. Кристаллическая решетка ТвМпО3 имеет центр инверсии, однако ионы марганца (их 4) занимают в ней центросимметричные позиции, а 4 иона тербия — нецентросимметричные. Последнее обстоятельство разрешает присутствие в термодинамическом потенциале слагаемых с первой степенью электрической поляризации и АФ вектора спинов тербия д вида [11]

$$P_i g_k M_l$$
, $P_i g_k A_l$,

$$A = M_1 - M_2 - M_3 + M_4$$
, $g = M_5 - M_6 - M_7 + M_8$, (1)

где \mathbf{A} , \mathbf{g} — $\mathbf{A}\Phi$ векторы соответственно марганцевых (1–4) и тербиевых (5–8) магнитных моментов в позициях 4b и 4c [12]. Числу спинов в манганите тербия соответствуют шесть $\mathbf{A}\Phi$ векторов: три марганцевых (\mathbf{A} , \mathbf{G} , \mathbf{C}) и три тербиевых (\mathbf{a} , \mathbf{g} , \mathbf{c}). Нейтронографические ис-

следования [13] показали, что значительно больше интенсивность пиков, соответствующих **A**- и **g**-фазам, которые в дальнейшем и рассматриваются.

В модулированных состояниях инварианты (1) не приводят к отличной от нуля средней поляризации. Но в сильном магнитном поле $H_y > 4,5$ Тл при температурах $T < T' \approx 7$ К спин-флоп сопровождается переходом в соразмерную АФ фазу, в которой электрическая поляризация P_x линейно зависит от магнитного поля H_y [9]. При этом линейную зависимость $P_x(H_y)$ индуцирует только первое слагаемое в (1), т.е. спины тербия. Спины марганцевой подсистемы (второе слагаемое в (1) с АФ вектором А) индуцируют независящую от магнитного поля электрическую поляризацию под воздействием упорядоченных спинов тербия. Вклад спинов марганца в рассмотренные эффекты невзаимности при распространении света в АФ доменах тербия оказывается незначительным (см. далее).

Анализ влияния МЭ взаимодействия $P_i g_k M_I$ на поляритоны в низкотемпературной соразмерной фазе (T < T') в ТbMnO $_3$ в магнитном поле $H_y > 4,5$ Тл показал возможность эффектов оптической невзаимности в 180-градусных АФ тербиевых доменах: различие в них скоростей поляритонов, противоположные направления прецессии электрического поля и поворота плоскости поляризации. Эти эффекты доменной невзаимности возникают в первом приближении по МЭ взаимодействию и имеют порядок величины 10^{-3} .

Тензор обобщенной восприимчивости

В МЭ средах электрический (магнитный) момент индуцируется как электрическим (магнитным), так и магнитным (электрическим) полем. Поэтому наряду с тензорами диэлектрической X_{ik}^e и магнитной X_{ik}^m восприимчивостей вводится тензор МЭ восприимчивости $X_{ik}^{em} = \partial P_i/\partial H_k$, $X_{ki}^{me} = \partial M_k/\partial E_i$, который в отсутствие затухания эрмитов, т.е $X_{ik}^{em} = (X_{ki}^{me})^*$. Отклик моментов \mathbf{P} , \mathbf{M} на электрическое \mathbf{e} и магнитное \mathbf{h} поля в волне описывается тензором обобщенной восприимчивости

$$\hat{X} = \begin{pmatrix} X_{ik}^e & X_{ik}^{em} \\ X_{ik}^{me} & X_{ik}^m \end{pmatrix}, \quad P_i = X_{ik}^e e_k + X_{ik}^{em} h_k , \\ X_{ik}^{me} & X_{ik}^m \end{pmatrix}, \quad M_i = X_{ik}^m h_k + X_{ik}^{me} e_k .$$
 (2)

Рассмотрим возбуждения электромагнитной волной спинов тербия. В отсутствие постоянного магнитного поля спины лежат в плоскости (X,Y) [14]. В магнитном поле $H_0 \parallel Y$ порядка 1–2 Тл происходит фазовый переход первого рода [8,10], и спины тербия предположительно ориентируются вдоль оси X. В поле $H_{yy} > 4,5$ Тл соразмерная фаза состоит из $A\Phi$ доменов.

Пары магнитных моментов тербия (5, 8) и (6, 7) лежат в параллельных плоскостях (X,Y). Взаимодействие

внутри пар — ферромагнитное, а между плоскостями — антиферромагнитное. Считая магнитную анизотропию слабой, можно в обменном приближении положить $M_5=M_8, M_6=M_7$ (т.е. ${\bf a}={\bf c}=0$) и использовать двухподрешеточную модель [12], полагая

$$\mathbf{M}_5 + \mathbf{M}_8 = \overline{\mathbf{M}}_1, \, \mathbf{M}_6 + \mathbf{M}_7 = \overline{\mathbf{M}}_2, \, \mathbf{G} = \overline{\mathbf{M}}_1 - \overline{\mathbf{M}}_2, \, \mathbf{M} = \overline{\mathbf{M}}_1 + \overline{\mathbf{M}}_2.$$

Используя таблицу неприводимых представлений группы *Pbnm* [12], свободную энергию одного домена тербиевой подсистемы двухосного кристалла запишем в виле

$$F = \frac{1}{2} \left(A_0 \mathbf{G}^2 + B_0 \mathbf{M}^2 \right) + \frac{1}{4} C G^4 + \frac{1}{2} \left(\beta_1 G_y^2 + \beta_2 G_z^2 + \delta_1 M_x^2 + \delta_2 M_z^2 \right) - \mathbf{M} \mathbf{H} + \frac{1}{2} \left(b_1 P_x^2 + b_2 P_y^2 + b_3 P_z^2 \right) - \mathbf{P} \mathbf{e} + v_1 M_x G_y P_x + v_2 M_x G_x P_y + v_3 M_y G_x P_x + v_4 M_y G_y P_y + v_5 M_y G_z P_z + v_6 M_z G_z P_y + v_7 M_z G_y P_z \right).$$

$$(4)$$

Здесь первые три слагаемых описывают однородное обменное взаимодействие. Так как взаимодействие спиновых возбуждений с электромагнитной волной происходит в области малых волновых векторов, то неоднородный обмен (т.е. собственная дисперсия спиновых волн) не учитывается. Далее в (4) стоят энергии магнитной анизотропии и взаимодействия спинов с магнитным полем $\mathbf{H} = \mathbf{H}_0 + \mathbf{h}$ (\mathbf{h} , \mathbf{e} — магнитное и электрическое поля в электромагнитной волне). Слагаемые третьего порядка по моментам являются энергией МЭ взаимодействия, которое предполагается слабым. Основное состояние системы в магнитном поле $\mathbf{H}_0 \parallel Y$, большем поля спин-флопа $H_{sf} \approx 4,5$ Тл, таково:

$$G_{0} \parallel \mathbf{P}_{0} \parallel X, \ \mathbf{M}_{0} \parallel Y,$$

$$G_{x0}^{2} = G_{0}^{2} \cong -A_{0}/C, \ A_{0} < 0 \ , \ M_{y0} = m_{0} = H_{0}(B - v_{3}^{2}G_{0}^{2}B^{-1})^{-1},$$

$$B = B_{0} - A_{0} > 0, \ B_{0} > 0, \ P_{x0} = P_{0} = -v_{3}m_{0}G_{0}b_{1}^{-1}.$$

$$(5)$$

Используем равномодульную модель, т.е. полагаем $\mathbf{MG} = 0$, $\mathbf{M}^2 + \mathbf{G}^2 = (4M_0)^2$, где M_0 — магнитный момент редкоземельного иона.

При вычислении восприимчивостей полагаем $\mathbf{G} = \mathbf{G}_0 + \mathbf{g}$, $\mathbf{M} = \mathbf{m}_0 + \mathbf{m}$, $\mathbf{P} = \mathbf{P}_0 + \mathbf{p}$. Заметим, что в отличие от обозначения \mathbf{g} в (1) здесь и далее вектор \mathbf{g} обозначает малые возбуждения $\mathbf{A}\Phi$ вектора \mathbf{G} тербия в двухподрешеточной модели (3). Используем уравнения движения Ландау–Лифшица для $\mathbf{A}\Phi$ и уравнение движения для электрической поляризации

$$\dot{\mathbf{m}} = \gamma \left\{ \left[\mathbf{M} \times \frac{\partial F}{\partial \mathbf{M}} \right] + \left[\mathbf{G} \times \frac{\partial F}{\partial \mathbf{G}} \right] \right\}, \quad \dot{\mathbf{g}} = \gamma \left\{ \left[\mathbf{M} \times \frac{\partial F}{\partial \mathbf{G}} \right] + \left[\mathbf{G} \times \frac{\partial F}{\partial \mathbf{M}} \right] \right\}, \quad \ddot{\mathbf{P}} = -f \frac{\partial F}{\partial \mathbf{P}}.$$
 (6)

Здесь γ — гиромагнитное отношение, f — феноменологическая постоянная порядка квадрата частоты оптических фононов.

В линейном приближении по МЭ взаимодействию с учетом (4) уравнения движения имеют вид

$$\begin{split} \dot{m}_{x} &= \gamma m_{0}(B_{2}m_{z} - h_{z}) \,, \quad B_{2} = B + \delta_{2} \,, \quad \beta_{1,2} > 0 \,, \quad B_{1} = B + \delta_{1} \,, \\ \dot{m}_{y} &= -\gamma G_{0}(v_{5}m_{0}p_{z} + \beta_{2}g_{z}) \,, \\ \dot{m}_{z} &= \gamma [m_{x}(v_{1}G_{0}P_{0} - B_{1}m_{0}) + g_{y}(\beta_{1}G_{0} - v_{1}m_{0}P_{0}) + p_{y}(v_{4} - v_{2})m_{0}G_{0} + m_{0}h_{x}] \,, \\ \dot{g}_{x} &= \gamma m_{0}(v_{5}m_{0}p_{z} + \beta_{2}g_{z}) \,, \\ \dot{g}_{y} &= -\gamma G_{0}(B_{2}m_{z} - h_{z}) \,, \\ \dot{g}_{z} &= \gamma [m_{y}(BG_{0} - v_{3}m_{0}P_{0}) + v_{3}G_{0}P_{0}g_{x} + p_{x}v_{3}(G_{0}^{2} - m_{0}^{2}) - G_{0}h_{y}] \,, \\ \ddot{p}_{x} &= -f[b_{1}p_{x} + v_{3}(m_{0}g_{x} + G_{0}m_{y}) - e_{x}] \,, \\ \ddot{p}_{y} &= -f(b_{2}p_{y} + v_{2}G_{0}m_{x} + v_{4}m_{0}g_{y} - e_{y}) \,, \\ \ddot{p}_{z} &= -f(b_{3}p_{z} + v_{5}m_{0}g_{z} - e_{z}) \,. \end{split}$$

$$(7)$$

Уравнения (7) распадаются на ТЕ волны (e_v, h_x, h_z) и ТМ волны ((h_v, e_x, e_z)).

ТМ поляритоны

Из уравнений (7) видно, что электромагнитные ТМ волны в низкотемпературной соразмерной фазе возбуждают переменные m_y , p_x , p_z и компоненты $A\Phi$ вектора

тербия g_x , g_z . Полагая все переменные и **e**, **h** ~ exp($-i\omega$), в первом приближении по слабому МЭ взаимодействию в (4) получаем следующие компоненты обобщенного тензора восприимчивости:

$$X_{xx}^{e} = \frac{f}{\omega_{1}^{2} - \omega^{2}}, \quad X_{zz}^{e} = \frac{f}{\omega_{3}^{2} - \omega^{2}}, \quad X_{yy}^{m} = \frac{\beta_{2}\gamma^{2}G_{0}^{2}}{\omega_{a}^{2} - \omega^{2}},$$

$$X_{xy}^{em} = X_{yx}^{me} = -\frac{\beta_{2}v_{3}G_{0}\gamma^{2}f(G_{0}^{2} - m_{0}^{2})}{(\omega_{a}^{2} - \omega^{2})(\omega_{1}^{2} - \omega^{2})} = \frac{\gamma_{2}}{4\pi},$$

$$X_{yz}^{me} = -X_{zy}^{em} = \frac{i\gamma v_{5}G_{0}m_{0}f\omega}{(\omega_{a}^{2} - \omega^{2})(\omega_{3}^{2} - \omega^{2})} = \frac{i\gamma_{1}}{4\pi},$$

$$\omega_{n}^{2} = fb_{n}, \quad n = 1, 2, 3, \quad \omega_{a}^{2} = \beta_{2}\gamma^{2}G_{0}^{2}B. \quad (8)$$

В формулах (8) ω_a — частота АФ возбуждений, $\omega_a \sim 10^{12}~{\rm c}^{-1}$ и обычно на порядок меньше оптических частот ω_n .

Решая уравнения Максвелла для плоских волн, распространяющихся в направлении $\mathbf{n} = c\mathbf{k}/\omega$ в плоскости (X,Z), с помощью выражений (3) и (7) получаем уравнения

$$(n_z - \gamma_2)e_x - (n_x + i\gamma_1)e_z - \mu h_y = 0,$$

$$\varepsilon_1 e_x - (n_z - \gamma_2)h_y = 0,$$

$$\varepsilon_3 e_3 + (n_x - i\gamma_1)h_y = 0.$$
(9)

Здесь введены обозначения

$$\epsilon_{1} = 1 + 4\pi X_{xx}^{e} = \frac{\Omega_{1}^{2} - \omega^{2}}{\omega_{1}^{2} - \omega^{2}}, \Omega_{1}^{2} = \omega_{1}^{2} + 4\pi f,$$

$$\epsilon_{3} = 1 + 4\pi X_{zz}^{e} = \frac{\Omega_{3}^{2} - \omega^{2}}{\omega_{3}^{2} - \omega^{2}}, \Omega_{3}^{2} = \omega_{3}^{2} + 4\pi f,$$

$$\mu = 1 + 4\pi X_{yy}^{m} = \frac{\Omega_{a}^{2} - \omega^{2}}{\omega_{a}^{2} - \omega^{2}}, \Omega_{a}^{2} = \omega_{a}^{2} + 4\pi \beta_{2} \gamma^{2} G_{0}^{2}.$$
(10)

Поляритоны имеют разные свойства в зависимости от направления распространения.

1. Волновой вектор $\mathbf{k} \parallel Z$. Ограничиваясь, как и ранее, первым порядком по МЭ взаимодействию, из уравнений (9) для коэффициента преломления получаем выражение

$$n_z=rac{ck_z}{\omega}=\gamma_2\pm\sqrt{\epsilon_1\mu}$$
 , $\epsilon_1\mu>0$, c — скорость света. (11)

Поскольку $\omega_1>\omega_a$, то из второго условия (11) следует, что поляритоны существуют в таких частотных областях: $\omega<\omega_a$, $\Omega_a<\omega<\omega_1$, $\omega>\Omega_1$. Присутствие МЭ параметра $\gamma_2(\omega)\sim v_3G_0$ (см. (8)) делает спектр поляритонов невзаимным: $\omega(k_z)\neq\omega(-k_z)$. В фиксированной частотной области знак γ_2 зависит от знака множителя (v_3G_0) , т.е. от знака $G_{x0}=G_0$ в АФ домене. Отметим, что в рассматриваемой ситуации $(G_0^2-m_0^2)>0$, так как магнитное поле хотя и больше поля спин-флопа, но меньше обменного поля, $H_0< G_0B$.

Пусть $v_3G_0>0$. В частотной области $\omega<\omega_a$ МЭ постоянная $\gamma_2<0$. Присутствие γ_2 делает спектр

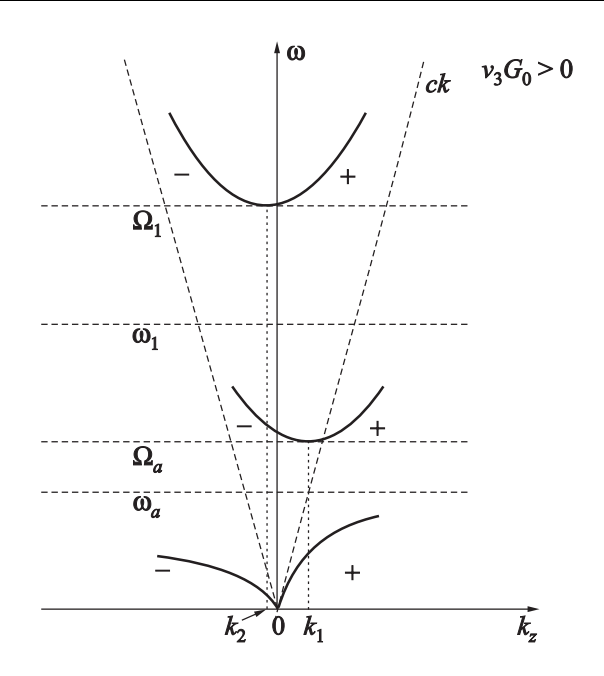


Рис. 1. Схематическое представление спектра ТМ поляритонов с $\mathbf{k} \parallel Z$ при $v_3G_0 > 0$. Знаки (\pm) обозначают противоположные направления вращения электрического поля в волне.

слегка асимметричным (см. рис. 1). При малых ω величина групповой скорости поляритонов $V=|\partial\omega/\partial k_z|$ для $k_z>0$ больше, чем для $k_z<0$, $V_+>V_-$.

Полагая в формулах (11) ω = 0 и учитывая малость отношения | γ_2 / $\sqrt{\epsilon_1 \mu}$ |, получаем

$$V_{+} - V_{-} = -\frac{2c\gamma_2}{\varepsilon_1 \mu} \tag{12}$$

С изменением знака γ_2 , т.е. в АФ домене, где $G_0 < 0$, наоборот, $V_+ < V_-$. Изменение знака G_0 равносильно замене знака волнового вектора, $\mathbf{k} \to -\mathbf{k}$. Таким образом, поляритоны в 180-градусных АФ доменах распространяются с разной скоростью.

В более высоких частотных зонах $\Omega_a < \omega < \omega_1$, $\omega > \Omega_1$ МЭ взаимодействие приводит к смещению дисперсионных кривых вдоль оси k_z на частотах Ω_a , Ω_1 . Величины смещений k_1 на частоте Ω_a и k_2 на частоте Ω_1 равны

$$k_1 \approx \frac{v_3 G_0 f \Omega_a}{c \omega_1^2}, \quad k_2 \approx -\frac{v_3 G_0 \omega_a^2}{c B \Omega_1}$$
 (13)

Значение $k_2 << k_1$, так как $|k_2/k_1| = \omega_a/\Omega_1 B$, $\omega_a < \Omega_1$ и постоянная обменного взаимодействия B >> 1.

Из уравнений движения (9) следует, что падающая линейно поляризованная волна (k_z, e_x, h_y) в TbMnO₃ вследствие МЭ взаимодействия становится эллиптически поляризованной, потому что

$$\frac{e_z}{e_x} = \frac{i\gamma_1 \varepsilon_1}{(n_z - \gamma_2)\varepsilon_3} = \pm \frac{i\gamma_1 \sqrt{\varepsilon_1}}{\varepsilon_3 \sqrt{\mu}}.$$
 (14)

Знаки (\pm) соответствуют коэффициентам преломления (11) на дисперсионных кривых рис. 1 и означают противоположные направления вращения электрического поля. Согласно (8) постоянная $\gamma_1 \sim G_0 m_0$, поэтому направление вращения меняет знак как при изменении направления поля \mathbf{H}_0 в данном АФ домене, так и в противоположных АФ доменах в заданном магнитном поле. В точках минимумов (Ω_a , k_1), (Ω_1 , k_2) направление вращения вектора электрического поля меняется на обратное. Заметим, что эллиптическая поляризация (14) возникает только в присутствие постоянного магнитного поля.

2. Волновой вектор $\mathbf{k} \parallel X$. Линейно поляризованная волна (k_x, e_z, h_y) в рассматриваемой МЭ среде имеет взаимный спектр:

$$n_x = \pm \sqrt{\varepsilon_3 \mu} \quad . \tag{15}$$

Волна остается линейно поляризованной, но, согласно (9), МЭ взаимодействие индуцирует поворот плоскости поляризации на угол ϑ

$$\frac{e_x}{e_z} = \text{tg } \vartheta = \frac{\gamma_2 \sqrt{\varepsilon_3}}{\varepsilon_1 \sqrt{\mu}} \ . \tag{16}$$

Направление поворота плоскости поляризации противоположное в доменах с противоположно направленными $A\Phi$ векторами, так как постоянная $\gamma_2 \sim G_{0x}$.

ТЕ поляритоны

Из уравнений движения (7) следует, что переменные поля (e_y, h_x, h_z) возбуждают моменты (m_x, m_z, g_y, p_y) в рассматриваемом основном состоянии манганита тербия. В первом порядке по МЭ взаимодействию ТЕ поляритоны характеризуются обобщенной восприимчивостью с компонентами

$$X_{yy}^{e} = \frac{f}{\omega_{2}^{2} - \omega^{2}}, \quad X_{zz}^{m} = \frac{\omega_{A}^{2}}{B_{2}(\omega_{A}^{2} - \omega^{2})},$$

$$X_{xz}^{m} = -X_{zx}^{m} = \frac{i\gamma\omega m_{0}}{\omega_{A}^{2} - \omega^{2}} = \frac{i\Gamma_{3}}{4\pi},$$

$$X_{yx}^{em} = X_{xy}^{me} = \frac{vG_{0}\gamma^{2}fm_{0}^{2}B_{2}}{(\omega_{A}^{2} - \omega^{2})(\omega_{2}^{2} - \omega^{2})} = \frac{\Gamma_{2}}{4\pi},$$

$$v = v_{4} - v_{2},$$

$$X_{zy}^{me} = -X_{yz}^{em} = -\frac{i\gamma v G_{0}m_{0}f\omega}{(\omega_{A}^{2} - \omega^{2})(\omega_{2}^{2} - \omega^{2})} = \frac{i\Gamma_{1}}{4\pi},$$

$$\omega_{A}^{2} = \gamma^{2}B_{2}(\beta_{1}G_{0}^{2} + B_{1}m_{0}^{2}).$$
(17)

Проведя вычисления, аналогичные предыдущим, получаем следующий закон дисперсии ТЕ поляритонов:

$$\mu_{x}n_{x}^{2} + \mu_{z}(n_{z} + \Gamma_{2})^{2} + \varepsilon_{2}\Gamma_{3}^{2} + 2\Gamma_{1}\Gamma_{3}(n_{z} + \Gamma_{2}) - \varepsilon_{2}\mu_{x}\mu_{z} = 0,$$
(18)

$$\varepsilon_{2} = \frac{\Omega_{2}^{2} - \omega^{2}}{\omega_{2}^{2} - \omega^{2}}, \quad \mu_{x} = \frac{\Omega_{Ax}^{2} - \omega^{2}}{\omega_{A}^{2} - \omega^{2}}, \quad \mu_{z} = \frac{\Omega_{Az}^{2} - \omega^{2}}{\omega_{A}^{2} - \omega^{2}},$$

$$\Omega_{2}^{2} = \omega_{2}^{2} + 4\pi f, \quad \Omega_{Ax}^{2} = \omega_{A}^{2} + 4\pi B_{2} \gamma^{2} m_{0}^{2}, \quad \Omega_{Az}^{2} = \frac{B_{2} + 4\pi}{B_{2}} \omega_{A}^{2}.$$
(18)

Из уравнения (18) легко видеть, что спектр ТЕ волн, распространяющихся вдоль оси X, взаимен, $\omega(-k_x) = \omega(k_x)$. При распространении же волн вдоль оси Z коэффициент преломления равен

$$n_{z} = -\Gamma_{2} + \mu_{z}^{-1} \left[-\Gamma_{1} \Gamma_{3} \pm \sqrt{\mu_{z} \varepsilon_{2} (\mu_{x} \mu_{z} - \Gamma_{3}^{2})} \right] =$$

$$= \Gamma \pm \mu_{z}^{-1} \sqrt{\mu_{z} \varepsilon_{2} (\mu_{x} \mu_{z} - \Gamma_{3}^{2})},$$

$$\Gamma = -\frac{4\pi v G_{0} f (B_{2} + 4\pi) \gamma^{2} m_{0}^{2}}{(\Omega_{4z}^{2} - \omega^{2})(\omega_{2}^{2} - \omega^{2})}.$$
(20)

МЭ постоянные Γ_1 , Γ_2 содержат первую степень X-компоненты АФ вектора G_0 , и это делает спектр невзаимным. Аналогично (12) оценка при низких частотах разности скоростей поляритонов с противоположным направлением распространения дает величину

$$V_{+} - V_{-} \approx -\frac{2c\Gamma\omega_{2}^{2}}{\Omega_{2}^{2}}.$$
 (21)

В отличие от ТМ поляритонов МЭ взаимодействие в ТЕ волнах не вносит особых черт в поляризацию волн. Их эллиптическая поляризация — результат воздействия поля, $\mathbf{H}_0 \parallel Y$, и МЭ взаимодействие тоже дает в нее свой вклад. Так, для $\mathbf{k} \parallel Z$

$$\frac{h_z}{h_x} = \frac{i}{\varepsilon_2 \mu_z} \left[\Gamma_3 \varepsilon_2 \pm \Gamma_1 \sqrt{\mu_z^{-1} \varepsilon_2 (\mu_x \mu_z - \Gamma_3^2)} \right]. \quad (22)$$

Обсуждение результатов

Основное отличие спектра ТМ и ТЕ поляритонов в том, что для ТМ волн возможны невзаимные эффекты и в отсутствие постоянного магнитного поля. Действительно, приводящая к асимметрии спектра МЭ постоянная γ_2 (8) отлична от нуля и при $H_0=0$. А в случае ТЕ поляритонов все МЭ восприимчивости при $H_0=0$ обращаются в нуль.

Оценим величины рассмотренных эффектов в $TbMnO_3$, используя имеющиеся экспериментальные данные.

Для ТМ волн разность скоростей дается формулой (12). В низкочастотной области в ТbMnO $_3$ величина диэлектрической постоянной $\epsilon_1 \cong 24$ [8]. Обменная постоянная B >> 1, поэтому из (8) и (10) следует, что $\Omega_a \approx \omega_a$, $\mu \approx 1$. Для МЭ параметра γ_2 и разности скоростей волн получаем выражения

$$\gamma_2 \cong -v_3 G_0(\varepsilon_1 - 1)B^{-1}, \ V_+ - V_- = v_3 G_0 \frac{2c(\varepsilon_1 - 1)}{\varepsilon_1 B}.$$
 (23)

Обменная постоянная B есть обратная магнитная восприимчивость, которую можно оценить, согласно данным работы [8, рис. 3(e)], $X_{yy}^m = B^{-1} \approx 0.28 \cdot 10^{-2}$. Из линейной зависимости электрической поляризации $P_x = X_{xy}^{em} H_y$ от магнитного поля [9, рис. 2(d)] при температуре T=2 К получаем $X_{xy}^{em} = \gamma_2/4\pi = 1.6 \cdot 10^{-3}$. Отсюда величина $\gamma_2 \cong 2 \cdot 10^{-2}$, а из (23) находим, что параметр $(v_3 G_0) \cong 0.3$. Тогда, согласно (23), относительная разность скоростей поляритонов в доменах на низких частотах $(V_+ - V_-)/c \approx 1.6 \cdot 10^{-3}$. Эта величина растет при приближении к $A\Phi$ частоте ω_a и становится больше на порядок, если $\omega = 0.94\omega_a$. Однако в непосредственной близости к $A\Phi$ частоте используемого линейного приближения недостаточно.

Для ТЕ волн из (19)–(21) следует, что

$$V_{+} - V_{-} = vG_0 \frac{2c(\varepsilon_2 - 1)m_0^2}{\varepsilon_2(\beta_1 G_0^2 + B_1 m_0^2)},$$
 (24)

где $\varepsilon_2\cong 23$ [8], а слагаемые в знаменателе дроби (24) одного порядка, поскольку магнитное поле больше поля спин-флопа, $H_0>G_0\sqrt{B_1\beta_1}$. Если постоянные $v_2-v_4=v$ и v_3 одного порядка, то разности скоростей волн в АФ доменах для ТЕ (23) и ТМ (24) поляритонов тоже величины одного порядка. Однако в ТЕ волнах величина эффекта (24) может заметно регулироваться постоянным магнитным полем.

Другой отмеченный эффект доменной невзаимности — противоположные направления поворотов плоскостей поляризации линейно поляризованного света в 180-градусных АФ доменах — для ТМ волн с $\mathbf{k} \parallel X$ описывается формулой (16). Используя вышеприведенные оценки параметров и значение $\epsilon_3 \cong 29$ [8], получаем, что угол поворота в результате МЭ взаимодействия приближенно равен $\mathrm{tg} \ \vartheta \cong 4,5\cdot 10^{-3}$. Таким образом, все упомянутые эффекты доменной невзаимности имеют один порядок, и он совпадает с порядком величины угла поворота плоскости поляризации в $\mathrm{Cr_2O_3}$ $\alpha \approx 8' = 2,4\cdot 10^{-3}$ [5].

Первоначально плоская ТМ волна с $\mathbf{k} \parallel Z$ в манганите тербия становится эллиптически поляризованной в присутствие магнитного поля (14), $e_z/e_x \cong 0,17\gamma_1$, где постоянная $\gamma_1 \sim v_5 G_0 H_0$ (8). Направление вращения электрического поля в волне меняет знак как при инверсии \mathbf{G}_0 , так и \mathbf{H}_0 . МЭ энергия с параметром v_5 , как и с параметром v_3 в (4), является релятивистской, однако для определения v_5 нет соответствующего эксперимента. Если v_5 и v_3 одного порядка, то величина эллиптичности тоже порядка 10^{-3} .

Спины марганца при низких температурах T < T' после спин-флопа в магнитном поле H_y находятся в соразмерной фазе [9]. Магнитная структура этой фазы

в настоящее время еще не вполне ясна. Предположим, что это состояние $(M_{_{V}},A_{_{Z}})$. Ионы марганца занимают в манганите тербия центросимметричные позиции, поэтому в соразмерной фазе МЭ энергия марганцевой подсистемы с первой степенью электрической поляризации $P_{\rm r}$ возможна лишь вида $A_{\rm r}G_{\rm r}P_{\rm r}$ (второй инвариант в (1)). Эта МЭ энергия вносит изменения как в равновесное состояние, так и в спектр поляритонов. Обменное взаимодействие между спинами марганца значительно сильнее, чем между спинами тербия, поскольку в марганцевой подсистеме температура упорядочения $T_N \cong 42 \text{ K}$ значительно больше таковой для тербия $T' \approx 7$ К. Температура АФ перехода и квадрат АФ частоты (8) пропорциональны постоянной однородного обмена В. Поэтому АФ частота марганцевой подсистемы значительно больше тербиевых частот. Возбуждения спинов марганца здесь не рассматриваются, полагается $A_7 = A_0$ (равновесное значение после спин-флопа). Учет МЭ слагаемого $v_0 A_0 G_{\rm x} P_{\rm x}$ в энергии (4) в рассматриваемом линейном приближении означает лишь перенормировку величины $v_3 m_0 \rightarrow v_3 m_0 + v_0 A_0$ в формулах для равновесной поляризации (5) и постоянной γ_2 (8). Величины равновесной поляризации P_0 и ү 2 примут вид

$$\begin{split} \overline{P}_0 &= -b_1^{-1} (v_3 m_0 + v_0 A_0) G_0, \\ \gamma_2 &= -\frac{4\pi \beta_2 G_0 \gamma^2 f[v_3 G_0^2 - m_0 (v_3 m_0 + v_0 A_0)]}{(\omega_a^2 - \omega^2)(\omega_1^2 - \omega^2)}, \end{split}$$
(25)
$$H_0 > H_{sf}.$$

Второе слагаемое в поляризации есть ее значение в поле спин-флопа $H_{sf}\approx 4,5~{\rm Tr}$, после чего поляризация растет линейно с магнитным полем вплоть до поля обмена $H_e\cong BG_0$ [9]. Величины \overline{P}_0 и γ_2 (25) попрежнему меняют знак при замене $G_0\to -G_0$, т.е. указанная перенормировка лишь корректирует величину рассмотренных выше эффектов спектральной невзачимности в 180-градусных тербиевых доменах.

Таким образом, проведенный анализ поляритонного спектра в центросимметричном АФ ТbMnO₃ в сильных магнитных полях и при низких температурах показал возможность эффектов значительной доменной невзаимности поляритонов: различие скоростей электромагнитных волн в АФ доменах тербия, эллиптическую поляризацию волн с противоположным направлением вращения электрического поля в них, поворот плоскости поляризации в противоположном направлении. Эти эффекты являются результатом МЭ взаимодействия, а именно линейной зависимости электрической поляризации от постоянного магнитного поля, возникающей после спин-флоп перехода. Зависимость эффектов от частоты дает возможность их усиления вблизи частот резонансов (ω_a, ω_1) и антирезонансов (Ω_a, Ω_1) .

- 1. Л.Д. Ландау, Е.М. Лифшиц, Электродинамика сплошных сред, Наука, Москва (1957).
- 2. И.Е. Дзялошинский, *ЖЭТФ* **37**, 881 (1959).
- 3. Д.Н. Астров, ЖЭТФ **38**, 984 (1960).
- 4. G.A. Gering, P.J. Becker, and I.R. Jahn, *Solid State Commun.* 17, 1257 (1975).
- R.V. Pisarev, B.B. Krichevtsov, and V.V. Pavlov, *Phase Trans.* 37, 63 (1991).
- B.B. Krichevtsev, V.V. Pavlov, R.V. Pisarev and V.N. Gridnev, *Condens. Matter* 5, 8233 (1993).
- 7. R.V. Pisarev, Ferroelectrics 162, 191 (1994).
- 8. T. Kimura, T. Goto, H. Shintanl, K. Ishizaka, T. Arima, and Y. Tokura, *Nature (London)* **426**, 55 (2003).
- N. Alioune, D.N. Argyriou, J. Strempfer, I. Zegkinoglou, S. Landsgessell, and M. v. Zimmermann, *Phys. Rev. B* 73, 020102(R) (2006).
- M. Kenzelmann, A.B. Harris, S. Jonas, C. Broholm, J. Schefer, S.B. Kim, C.L. Zhang, S.-W. Cheong, O.P. Vajk, and J.W. Lynn, *Phys. Rev. Lett.* 95, 087206 (2005).
- 11. И.Е. Чупис, *ФНТ* **37**, 157 (2011) [*Low Temp. Phys.* **37**, 126 (2011)].
- 12. Е.А. Туров, А.В. Колчанов, В.В. Меньшенин, И.Ф. Мирсаев, В.В. Николаев, *Симметрия и физические свойства* антиферромагнетиков, Физматлит, Москва (2001).
- 13. R. Kajimoto, H. Yoshizawa, H. Shintani, T. Kimura, and Y. Tokura, *Phys. Rev. B* **70**, 012401 (2004).
- 14. S. Quezel, F. Tcheout, J. Rossat-Mignod, G. Quezel, and E. Roudaut, *Physica B* **86-88**, 916 (1977).

Domain nonreciprocity of electromagnetic waves in centrosymmetrical TbMnO₃

I.E. Chupis

The polariton spectrum of centrosymmetrical TbMnO₃ in the commensurate antiferromagnetic state is analyzed at low temperatures after spin-flop transition. It is shown that the previously observed linear dependence of electric polarization P on magnetic field H is a result of spin ordering of the terbium ions. Magnetoelectric interaction energy PGH (G is the antiferromagnetic vector of terbium) induces a nonreciprocity in the spectrum of TM and TE polaritons in the centrosymmetrical TbMnO3 without a linear magnetoelectric effect. Different velocities of electromagnetic waves, opposite directions of the rotations of electric field and polarization plane in the terbium domains with a reverse direction of antiferromagnetic vector G were revealed. The order of these effects is 10^{-3} .

PACS: 78.20.Ls Magneto-optical effects.

Keywords: antiferromagnetic domains, magnetoelectric interactions, nonreciprocity, refraction coefficient, electromagnetic wave, magnetic field.